

関西大学工学部 正会員 井上雅夫

1. まえがき

著者はすでに、大水深に設置される護岸構造を究明する目的で、逆勾配護岸の越波特性を検討し、逆勾配護岸の越波量はその傾斜角が 120° で極小値を示したのち、 135° で極大値をとり、またたび減少する場合のあることを明らかにするとともに、こうした特性は逆勾配護岸の反射特性に起因することと示した。しかししながら、逆勾配護岸を実際に施工する場合には、施工面や経費の面ばかりでなく、一般に波動運動が水面で大きく、水底にいくにしたがって小さくなることを考慮すれば、特に大水深の水底から天端までの全のり面を逆勾配にすることは、非常に無駄のようである。こうしたことから、ここでは越波防止機能が秀れ、しかも実際に施工が可能と考えられるような逆勾配護岸の断面形状を明らかにするとともに、実際の海岸に来襲する波はいろいろな周期からなる不規則波であるため、その周期特性についても若干の検討を行なおうとするものである。

2. 実験装置および実験方法

実験水槽は、長さ24.0m、幅0.5m、深さ0.6mの片

面一部ガラス張りのもので、その一端に造波機があり、他端の一様水深部に逆勾配護岸を設置した。護岸の傾斜角 $\alpha=120^\circ$ または 135° とし、その鉛直高さはすべて50cm

とした。図-1は、逆勾配護岸の断面を示したものであ

図-1 逆勾配護岸の断面

る。実験波は、断面形状の影響については周期 $T = 1.20\text{ sec}$ 、波高 $H = 4\text{ cm}$ から 8 cm 、クリ先水深 $h = 25\text{ cm}$ とし、周期特性については、周期 $T = 0.85\text{ sec}, 1.00\text{ sec}, 1.20\text{ sec}, 1.50\text{ sec}$ および 1.80 sec の5種類に変化させ、波高およびクリ先水深は丁度の場合と同じとした。波高は水槽一様水深部に抵抗線式波高計を置き、リニヤコーダに記録させ、越波量は護岸背後の小容器に入れる水量をメスシリニアードで直接測定した。実験はまず護岸をとり除き入射波を測定したのち、護岸を設置して、波高が一様な造波機始動後約6~8波目までの越波量を測定した。

3. 実験結果とその考察

(1) 越波量に及ぼす断面形状の影響：図-2は、図-1(a)および(b)に示すような静水面下部および上部だけが逆勾配で、他の部分を鉛直とした断面についての越波量と波高との関係を示したものである。なお、図中には参考のために鉛直堤と全のり面が逆勾配の場合の実験値も記入した。これによると、実験を行なった波高の範囲内については、越波量が少ない断面は、当然のことながら、全のり面が逆勾配のもの、静水面の上部だけが逆勾配のもの、静水面の下部だけが逆勾配のもの、鉛直堤の順であり、この順位は波高が小さいほど顕著である。たとえば、鉛直堤と上部逆勾配の越波量の比は、波高が5cm, 6cmおよび7cmの場合、それぞれ3, 2および1.5であり、鉛直堤と下部逆勾配の

越波量の比は、それぞれ2, 1.4および1.1である。したがって、逆勾配護岸の越波防止効果には、静水面上および下部のいずれの逆勾配部分を寄与しているか、静水面下の長い部分を逆勾配にすることよりも、静水面上のわずかな部分を逆勾配にした方が効果的であることがわかる。しかしながら、静水面下部の逆勾配部分を多少、越波を防止する機能を有しているので、水底からどれだけの位置から逆勾配にすれば効果的であるかを検討した。図-3は、図-1(c)に示すように上部逆勾配の鉛直部分の長さ H_v を変化させた場合の越波量と波高との関係を示したものである。なお、図中 $H_v = 0\text{ cm}$ および 50 cm の実験値はそれぞ

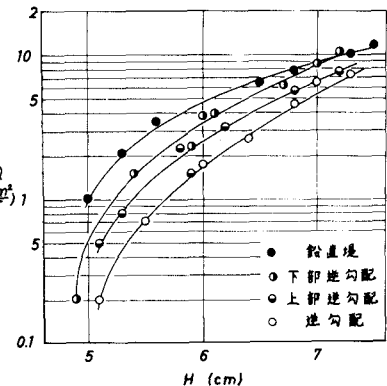
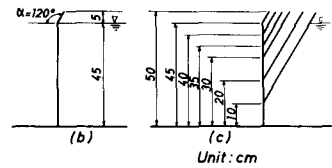


図-2 越波量と波高との関係
護岸の越波防止効果には、静水面上および下部のいずれの逆勾配部分を寄与しているか、静水面下の長い部分を逆勾配にすることよりも、静水面上のわずかな部分を逆勾配にした方が効果的であることがわかる。しかしながら、静水面下部の逆勾配部分を多少、越波を防止する機能を有しているので、水底からどれだけの位置から逆勾配にすれば効果的であるかを検討した。図-3は、図-1(c)に示すように上部逆勾配の鉛直部分の長さ H_v を変化させた場合の越波量と波高との関係を示したものである。なお、図中 $H_v = 0\text{ cm}$ および 50 cm の実験値はそれぞ

れ全のり面が逆勾配および鉛直堤の場合のものである。これによると、水底からの鉛直部分の長さに關係なく、波高とともに越波量も増加している。大水深に設置される護岸の越波特性としては、波高が増大しても越波量が急激に増加しないものが望ましいが、逆勾配護岸でこうした特性をもたせるためには、傾斜角を 135° 以上にしなければならぬ。

図-3 越波量と波高との関係

図-3は、越波量と波高との関係を示すものである。横軸は波高 H (cm)、縦軸は越波量 Q (cm^3/s)である。図中の各曲線は、水底から鉛直部分の高さ H_V をパラメータとして示したものである。 $H_V = 0\text{ cm}$ の曲線が最も左側に位置し、 $H_V = 50\text{ cm}$ の曲線が最も右側に位置する。各曲線は、波高が増加するにつれて越波量が増加する傾向を示す。また、各曲線は、 H_V が大きいほど、同じ波高に対する越波量が大きい。

図-4 越波量と水底から鉛直部の高さとの関係

図-4は、越波量と水底から鉛直部分の高さ H_V との関係を示すものである。横軸は H_V (cm)、縦軸は Q (cm^3/s)である。図中の各曲線は、波高 H をパラメータとして示したものである。 $H = 0\text{ cm}$ の曲線が最も左側に位置し、 $H = 50\text{ cm}$ の曲線が最も右側に位置する。各曲線は、 H が大きいほど、同じ H_V に対する越波量が大きい。

図-5 越波量と波高との関係

図-5は、越波量と波高との関係を示すものである。横軸は波高 H (cm)、縦軸は越波量 Q (cm^3/s)である。図中の各曲線は、周期 T をパラメータとして示したものである。 $T = 0.85\text{ sec}$ の曲線が最も左側に位置し、 $T = 1.8\text{ sec}$ の曲線が最も右側に位置する。各曲線は、波高が増加するにつれて越波量が増加する傾向を示す。

図-6 越波量と周期との関係

図-6は、越波量と周期との関係を示すものである。横軸は周期 T (sec)、縦軸は越波量 Q (cm^3/s)である。図中の各曲線は、波高 H をパラメータとして示したものである。 $H = 5\text{ cm}$ の曲線が最も左側に位置し、 $H = 7.0\text{ cm}$ の曲線が最も右側に位置する。各曲線は、周期が増加するにつれて越波量が増加する傾向を示す。

最後に、この研究は文部省自然災害特別研究代表者：京都大学岩垣雄一教授による研究の一部であることを明記して深謝するとともに、実験に助力した前関西大学々生魚谷美代治、三国 駿の両君に謝意を表す。